

:

3.1.9.



( ) – , .

– 25% ( . . . . . , 2014; . . . . . , 2015; . . . . . , 2020).

3,5%,

24

30% ( . . . . . , 2015; . . . . . , 2016; Soressa U., Mamo A., Hiko D., Fentahun N., 2016; Kefeli A., Akturk A., Aktas B., Calar K., 2016; . . . . . , 2019).

60–70%

( . . . . . , 2015; . . . . . , 2015; Costa G., Ruscelli P., Balducci G., 2016; Mangal K., Massey A., Patel P., 2016; . . . . . , 2021).

« »

( . . . . . , 2013; . . . . . , 2013; . . . . . , 2018; . . . . . , 2019).

1999

( . . ., 1999).

-

-

-

,

( . . ., 2014; . . .,

. . ., . . ., 2015; . . ., . . .,

-

. . ., 2015; . . ., 2016; Milunsky A., Baldwin C., Zhang X.Y., 2017;

. . ., . . ., . . ., 2018; Mu J.F., Wang Q.,

Wang S.D., 2019).

,

89% (Schima W., 2004; . . ., . . ., 2013; . . .,

2014; . . ., 2016; . . ., . . ., . . .,

-

. . ., 2018; . . ., . . ., . . ., . . ., 2019).

-

-

,

-

-

.

,

, -

,

.

.

.

:

1.

-

2.

-

3.

4.

-

-

:

1.

-

( 2666120).

2.

(

2669729).

3.

-

-

4.

-

-

5.

:

1.

95,1%

-

2.

,

,

-

37,1%, 39,1% 39,8%.

3.

-

-

3 ,

- 2

-

9,4%,

- 1,6 .

-

8 13 .

,

.

,

:

1.

-

2.

-

.

,

-

,

-

3.

-

-

,

-

.

4.

-

. 164

-

,

-

.

-

«

»

-

«

»

:

-

XX

, 4-7

2017 ., «

-

»; I

27-29

2017 , . , «

»; V

, 18-19 2017 . - - ,

«

»;

«

» ( , 2018); V

-

«

-

», . , 11 2018 ., «

-

-

»;

-

, 16 2019 ., «

»;

VI

-

«

» «

», 5 2020 , : « - »

»;

« », . , 12

2021 , «

»;

»;

» . , 23-24 2021 , : «

: ».

. 16 , 7

,

1 , Scopus, 2

.

157 , 22 35 -

,

235, 144 91 .

.

( . - -

, . . . , . )

( - , . - .

, . . . , . . . ),

13 8 . 2013–2018 .

164

,

:



-	( )	54	,	-
-	( )	50	,	-
-	( )	60	,	-
56,5±18,2	1-	20(37%)	34(63%)	2-
3-	,	18 (36,0%)	32 (64,0%)	,
21 (35,0%)	39 (65,0%)			
:	18	;		
( . .			);	
2013–2018				
1.				

	n=164		1- , n=54		2- , n =50		3- , n=60		
	.	%	.	%	.	%	.	%	
	87	19,1	29	18,7	28	19,0	30	18,3	>0,05
	53	11,6	17	11,0	16	10,9	20	12,2	>0,05
	20	4,4	8	5,2	5	3,4	7	4,3	>0,05
	65	14,3	24	15,5	23	15,6	28	17,1	>0,05
	21	4,6	7	4,5	6	4,1	8	4,9	>0,05
	25	5,5	9	5,8	10	6,8	6	3,7	>0,05
	29	6,4	10	6,5	8	5,4	11	6,7	>0,05
	23	5,0	8	5,2	9	6,1	6	3,7	>0,05
	19	4,2	5	3,2	7	4,8	7	4,3	>0,05
	36	7,9	12	7,7	10	6,8	14	8,5	>0,05
	14	3,1	4	2,6	6	4,1	4	2,4	>0,05
	64	14,0	22	14,2	19	12,9	23	14,0	>0,05
...	456	100	155	100	147	100	164	100	>0,05

(2013).

SAPS (

. Simplified Acute Physiology Score) (Knaus W.A. et al., 1985).

1-2

3-

Microsoft Word 2010,

Microsoft Excel 2010 «Statistica 10», -

( . ., 2002; . ., 2006).

95%

(2016).

2666120).

(+3<sup>0</sup> - +5<sup>0</sup> )

per rectum

(+28<sup>0</sup> - +33<sup>0</sup> ) (

2666120).

100,0

100,0

100,0

1000

45 , -  
 .  
 2- : 1- -  
 ,  
 ( 2).  
 - ,  
 ,  
 , , , -  
 .  
 2 - -  
 ( 1- ) ( 2- )

1-	98,0*(93,8-99,8)	95,1*(91,4-98,9)	96,2(91,6-99,0)
2-	82,6 (75,8-86,5)	83,1(77,8-89,5)	84,7(78,8-88,3)

\* - 2-  
 <0,05, - 95% .

-  
 .  
 « -  
 -  
 » ( 2669729). -  
 -  
 (1 ) (1 ) -  
 , 4  
 ( ) ( 3). -  
 -  
 , -  
 ( 4)

(44,4%),

( 5).

3 -

(1 ) (1 ) (M±SD)

	1 , n=24	1 , n=30	
	1,2±0,4	3,3±0,6	<0,001
	2,3±0,5	3,4±0,7	>0,05
	2,3±0,5	3,5±0,6	<0,001
	1,5 ±0,5	2,1±0,5	>0,05
	1,2±0,4	3,4±0,5	<0,001
	1,3±0,5	4,4±0,6	<0,001
	1,4±0,5	3,5±0,6	<0,001
	2,3±0,5	3,2±0,6	<0,001
	2,0±0,5	3,1±0,7	<0,001
	50,9±13,6	200,0±56,7	<0,001

4 -

(M±SD)

	1- , n=30	2- , n=31	3- , n=46	
	3,0±0,7	5,0±1,1	9,0±1,9	1,2>0,05 1,3<0,05 2,3<0,05

5 -

( . /%)

	1- , n=54	2- , n =50	3- , n =60	
	24/44,4%	19/38,0%	14/23,3%	$\chi^2=5,92;$ $df=2; =0,052$
	30/55,6%	31/62,0%	46/76,7%	

( 6).

6-

( . .%)

				-
	164	68/41,5	17/10,4	79/48,1
	51	28/54,9	21/41,2	2/3,9
	17	10/58,8	6/35,3	1/5,9
	90	54/60,0	28/31,1	8/8,9

:

,

.

,

,

.

( 7)

( 8).

,

,

.

7-

1- 2-

		. .	%	. .	%	
-	1- , n=12	11	91,7	1	8,3	>0,05
	2- , n=9	8	88,9	1	11,1	
	1- , n=42	41	97,6	1	2,4	>0,05
	2- , n=41	38	92,6	3	7,4	
	1- , n=8	7	87,5	1	12,5	>0,05
	2- , n=7	6	85,7	1	14,3	
/ -	1- , n=25	24	96,0	1	4,0	>0,05
	2- , n=18	16	88,9	2	11,1	

8 –

(n=42)

%				
	79,2* (77,2–83,4)	58,1* (49,7–63,5)	95,3 (93,4–98,3)	97,0 (95,1–98,2)
	69,8* (58,9,6–75,3)	54,5* (50,3–59,1)	94,3 (88,5–97,8)	98,1 (96,4–99,3)
	70,3* (63,4–76,2)	57* (52,3–65,5)	96,1 (90,1–99,7)	97,5 (95,8–98,1)

\* – <0,001,  
– 95%

1- 21 (70%)  
2- 17 (54,8%)  
3- 6 (13%).  
30 (100%)  
29 (93,5%)  
35 (76,1%) ( 9).

9 –

	1- , n=30	2- , n=31	3- , n=46
	30 (100%)*	29 (93,5%)*	35 (76,1%)
+	1 (3,3%)	0	0
+	10 (33,3%)	8 (25,8%)	0
+	10 (33,3%)	12 (38,7%)	14 (30,4%)
+	1 (3,3%)*	2 (6,5%)*	11 (23,9%)

\* – 3- <0,05.

2D 3D

( 10).

10 –

Clavien Dindo ( -

., 2018).

	, . /%		
	1- , n=30	2- , n =31	3- , n =46
IA	1/3,3	1/3,2	1/2,2
IB	–	–	–
II	1/3,3	1/3,2	–
IIB	2/6,7	3/9,7	5/10,9
IIC	–	–	1/2,2
III	–	–	1/2,2
IV	–	–	–
V	1/3,3	2/6,5	4/8,7
...	5 (16,7%)	7 (22,6%)	12 (26,1%)

I

II

II

II

III

1

3-

V

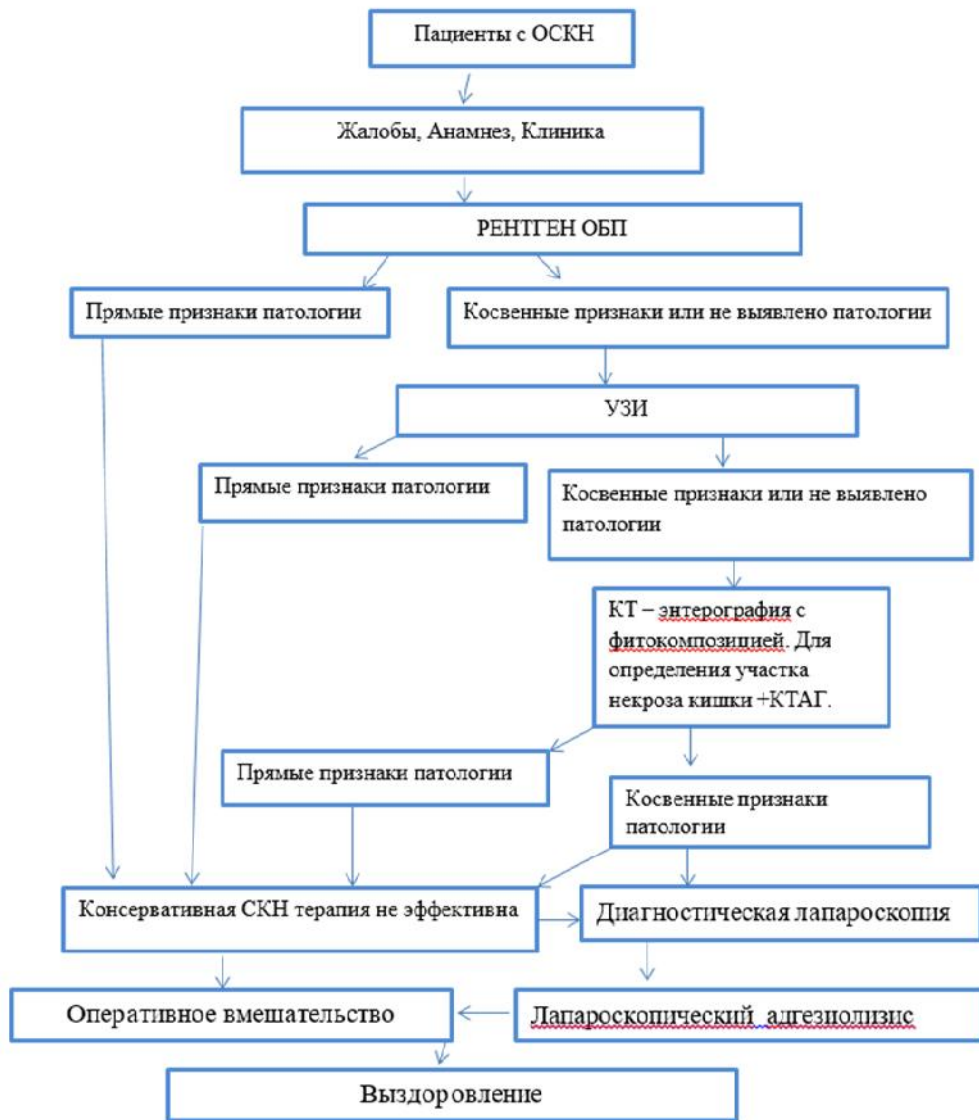
3,7%

6,0%

2-

8,3% 3-





1 –

,

,

1,6

,

3-

( $p > 0,05$ ),

1,4

,

2-

( $p > 0,05$ ).

( 11, 12).

50 (92,6%)

1-

, 48 (96,0%)

2-

3-

54 (90,0%)

.

11 –

	1- , n=30	2- , n=31	3- , n=46	
, M±SD	35±11	39±14	55±18	1,2>0,05 1,3<0,05 2,3<0,05
-	5,8±1,4	6,2±2,3	12,1±4,2	1,2>0,05 1,3<0,05 2,3<0,05
, . /%	4/13,3	5/16,1	10/21,7	1,2>0,05 1,3>0,05 2,3>0,05
, , M±SD	6,0±1,2	7,0±1,5	12,0±4,5	1,2>0,05 1,3<0,05 2,3<0,05
, . /%	1/3,3	2/6,5	4/8,7	1,2>0,05 1,3>0,05 2,3>0,05

12 –

(M±SD)

		-	-	
1- , n=54	21 (38,9%)	23 (42,6%)	6 (11,1%)	50 (92,6%)
2- , n=50	18 (36,0%)	22 (44,0%)	8 (16,0%)	48 (96,0%)
3- , n=60	16 (26,7%)	25 (41,2%)	13 (21,7%)	54 (90,0%)
...	$\chi^2=3,31; df=4; p=0,507$			152 (92,7%)

, -  
- , - , -  
( ) :  
= (0,217-0,111) × 100% = 10,6%.  
( ) :  
= (0,217-0,111): 0,217 × 100% = 48,9%.

,

-

.

, 3D

-

.

:

1.

2.

2,0±0,4

1- 6,0±1,2

2- ( 1,2>0,05; 1,3<0,05; 2,3<0,05).

3.

( 3,4±0,7 , >0,05 3,5±0,6 , <0,001

, 2,1±0,5 , >0,05)

4.

-

10,6%,

48,9%.

5.

-

-

8,4%, 2- , 2,8%,

1- , 1,6 , 2-

(p>0,05), 1,4 , 1- (p>0,05).

:

1.

0,5 1 , -  
 (+3<sup>0</sup> - +5<sup>0</sup>)  
 , 40 . -

2.

: 200,0±56,7 ; -  
 ( 3,4±0,7 - 3,5±0,6 ); -  
 3,0 ; ; -  
 ; , -  
 , ; -

3.

4.

1.

, . . . -  
 / . . . , . . . , . . .  
 // . - 2016. -

12-7. - . 1199-1202.

2.

[ . ]// / . . . , . . . ,  
 . . . - 2017. - . 7, 2. - 48-53.

3. . . . , . . . , . . . , . . . // - /  
 . - 2017. - 3. - . 47-49. URL: <https://science-education.ru/ru/article/view?id=26417>
4. / . . . , . . . , . . . , . . . - // . . . . - 2017. - 2. - . 10-11.
5. . . . / . . . , . . . , . . . - , . . . // . - 2017. - . 7, 3. - . 21-25.
6. / . . . , . . . , . . . [ . ] // V . - - - , 2017. - 394-395.
7. , . . . / . . . , . . . , . . . // . . . . - 2017. - 1. - . 127.
8. , . . . / . . . , . . . // . - 2017. - 1. - . 51-53. URL: <https://science-education.ru/ru/article/view?id=26134>
9. , . . . / . . . , . . . , . . . // . . . . - 2017. - 1. - . 128.
10. / . . . , . . . , . . . , . . . // - . - 2018. - 4. - URL: <http://www.science-education.ru/ru/article/view?id=2785>
11. . - / . . . , . . . , . . . [ . ] // : - : , 2018. - . 84-87.
12. , . . . / . . . , . . . , . . . // - . - 2018. - . 11, 2 (39). - . 97-100.
13. , . . . / . . . , . . . -

, ... // . - 2018. - 4. - . 55-59. -  
DOI:10.26442/22187332.2018.4.55-59.

14.

/ . . ,  
. . . , . . . // . - 2019. -  
2. - . 119-126.

15.

/ . . ,  
. . . , . . . // . -  
2020. - 1. - . 75-79.

16. Spiral Computed Tomography with Phytocomposition as a Diagnostic Tool for Adhesive Intestinal Obstruction / F. Mufazalov, I. Sufiyarov, A. Hasanov, G. Yamalova [et al.] // J. Biomed. Phys. Eng. - 2020 - Vol.10, 5. - P. 607-612.

1.

: . 2669729 . /  
. . . , . . . ;  
. - 2015142288/15; . 03.05.2018; . 15.10.2018,  
. 29. - 11 .

2.

: . 2666120  
. / . . , . . . ;  
. - 2017129424; . 17.08.2017;  
. 05.09.2018, . 25. - 9 .

**SAPS – Simplified Acute Physiology Score**

:

« »  
450054, , . , - , . 71/1.  
21.04.2022.  
60×84/16. Times New Roman.  
. . . 1,4. . . 1,28.  
100.

